

МИНИСТЕРСТВО НАУКИ И ВЫСШЕГО ОБРАЗОВАНИЯ РОССИЙСКОЙ
ФЕДЕРАЦИИ
ФЕДЕРАЛЬНОЕ ГОСУДАРСТВЕННОЕ АВТОНОМНОЕ
ОБРАЗОВАТЕЛЬНОЕ УЧРЕЖДЕНИЕ ВЫСШЕГО ОБРАЗОВАНИЯ
«Национальный исследовательский ядерный университет
«МИФИ»
(НИЯУ МИФИ)

ОТЧЁТ

по дисциплине «Проектная практика»
на тему «Решение начально-краевой задачи для уравнения
Кортевега-де Вриза (КдВ) с использованием PINN. »

Группа

Б24-265

Студент

Фам Чай Донг Чинь

Руководитель работы

Р.Н.Карачурин

Москва 2025

Аннотация

В данной работе применяется метод «физически информированных нейронных сетей» (PINN) для решения уравнения КdВ с известным солитонным решением. Основная цель — исследовать влияние архитектуры сети (числа скрытых слоёв и нейронов) на точность (через MSE) и вычислительную эффективность (время обучения). Результаты показывают, что сети умеренной глубины и ширины обеспечивают оптимальный баланс между точностью и вычислительными затратами, подтверждая эффективность PINN для моделирования нелинейных дифференциальных уравнений.

Отчет включает 6 разделов, 12 рисунков и 15 листингов.

В отчете искусственный интеллект используется для помощи в редактировании L^AT_EXи и оптимизации кода для построения графиков.

Содержание

1.	Введение	3
2.	Задача	3
3.	Решение	3
4.	Результаты	5
5.	Заключение по результатам	8

1. Введение

Physics-Informed Neural Networks (PINN) представляют собой альтернативный подход (если рассматривать классические численные методы) к решению дифференциальных уравнений, объединяющий методы машинного обучения с фундаментальными физическими законами. Этот метод предлагает новый взгляд на решение сложных физических задач, особенно в случаях, когда традиционные численные методы сталкиваются с трудностями.

2. Задача

Уравнение КdВ:

$$\frac{\partial u}{\partial t} + 6u \frac{\partial u}{\partial x} + \frac{\partial^3 u}{\partial x^3} = 0, \quad x \in (-L, L), \quad t > 0.$$

Начальное и граничные условия:

$$\begin{cases} u(x, 0) = f(x), & x \in [-L, L], \\ u(-L, t) = u(L, t) = 0, & t > 0, \\ \frac{\partial u}{\partial x}(-L, t) = 0, & t > 0. \end{cases}$$

Задача: Реализовать PINN метод решения начально-краевой задачи для уравнения КdВ. Исследовать влияние количества нейронов и скрытых слоёв на точность и эффективность решения.

3. Решение

Используемые библиотеки

Проект был реализован на языке Python 3 с использованием следующих библиотек:

- PyTorch — основной фреймворк для построения и обучения нейронной сети, а также для автоматического дифференцирования,
- Matplotlib — визуализация численных решений и сравнение с точным решением,
- NumPy — работа с массивами, генерация сеток и вычисление ошибки MSE,
- JSON — сохранение и загрузка результатов исследования архитектур.

Архитектура проекта

Архитектура нейронной сети состоит из одного входного слоя (2 нейрона — значения x и t), нескольких скрытых слоёв и одного выходного слоя (1 нейрон — предсказание $u(x, t)$).

В ходе исследования сравнивались пять архитектур:

- [2, 20, 20, 1]
- [2, 50, 50, 1]
- [2, 100, 100, 100, 1]
- [2, 200, 200, 1]
- [2, 50, 50, 50, 50, 1]

Функция активации во всех экспериментах была зафиксирована как `tanh`, чтобы изолировать влияние архитектуры от влияния функции активации.

Функции активации

Хотя в проекте были определены четыре функции активации (`tanh`, `sigmoid`, `softplus`, `sin`), для исследования влияния архитектуры использовалась только одна — `tanh`. Это позволило сосредоточиться исключительно на эффекте изменения числа слоёв и нейронов, не смешивая его с влиянием типа нелинейности.

Функция потерь

Функция потерь состоит из трёх компонент:

$$\mathcal{L} = \mathcal{L}_{\text{eq}} + \lambda_{\text{ic}} \mathcal{L}_{\text{ic}} + \lambda_{\text{bc}} \mathcal{L}_{\text{bc}}$$

где:

- $\mathcal{L}_{\text{eq}} = \mathbb{E} [(u_t + 6uu_x + u_{xxx})^2]$ — ошибка уравнения КdВ, вычисляемая на $N_f = 10\,000$ случайных точках внутри области $[-L, L] \times [0, T]$,
- $\mathcal{L}_{\text{ic}} = \mathbb{E} [(u(x, 0) - f(x))^2]$ — ошибка выполнения начального условия, где $f(x) = \frac{1}{2} \operatorname{sech}^2\left(\frac{x}{2}\right)$,
- $\mathcal{L}_{\text{bc}} = \mathbb{E} [u(-L, t)^2 + u(L, t)^2 + u_x(-L, t)^2]$ — ошибка выполнения граничных условий,
- веса: $\lambda_{\text{ic}} = \lambda_{\text{bc}} = 10$ — задают приоритет условию на границе и начальному условию над уравнением.

Производные вычисляются с помощью автоматического дифференцирования PyTorch (`torch.autograd.grad`).

Обучение

Для оптимизации параметров сети использовался алгоритм Adam с начальной скоростью обучения 10^{-3} . Каждая модель обучалась в течение 20 000 эпох. Автоматически выбиралось устройство вычислений: MPS (Apple Silicon), CUDA (NVIDIA GPU) или CPU — в зависимости от доступности.

После обучения каждая модель оценивалась по среднеквадратичной ошибке (MSE) на плотной сетке точек, и результаты сохранялись в файл `results/kdv_architecture_results.json` для последующего анализа и визуализации.

4. Результаты

В ходе выполнения работы были получены и проанализированы результаты решения начально-краевой задачи для уравнения Кортевега–де Фриза с помощью метода физически информированных нейронных сетей (PINN). В эксперименте сравнивались пять архитектур нейронных сетей различной сложности. Ниже представлены основные выводы, подтвержденные численными данными и визуальными представлениями.

Сравнение точности решений для различных архитектур

Для каждой из пяти исследованных архитектур было рассчитано значение среднеквадратичной ошибки (MSE) по сравнению с аналитическим солитонным решением. Результаты приведены в таблице 1.

Таблица 1. Сравнение архитектур нейронных сетей

Архитектура	MSE	Время обучения (с)
2-20-20-1	6.20×10^{-5}	728.5
2-50-50-1	4.17×10^{-5}	867.6
2-50-50-50-50-1	3.92×10^{-5}	776.4
2-100-100-100-1	5.54×10^{-5}	2620.2
2-200-200-1	1.22×10^{-4}	2284.0

Как видно из таблицы, наилучшую точность (наименьший $MSE = 3.92 \times 10^{-5}$) показала архитектура 2-50-50-50-50-1, состоящая из четырёх скрытых слоёв по 50 нейронов каждый. Эта же модель также оказалась самой эффективной с точки зрения времени обучения — всего 776.4 секунды.

Визуальное сравнение решений

На рисунках 1–4 представлены контурные графики, сравнивающие **точное решение** (слева) и **предсказание PINN** (справа) для каждой архитектуры. Архитектура 2-50-50-50-50-1 (рис. 4) демонстрирует предсказание, практически неотличимое от точного решения, в то время как более широкая сеть

2-200-200-1 (не показана отдельно) даёт значительные искажения формы солитона.

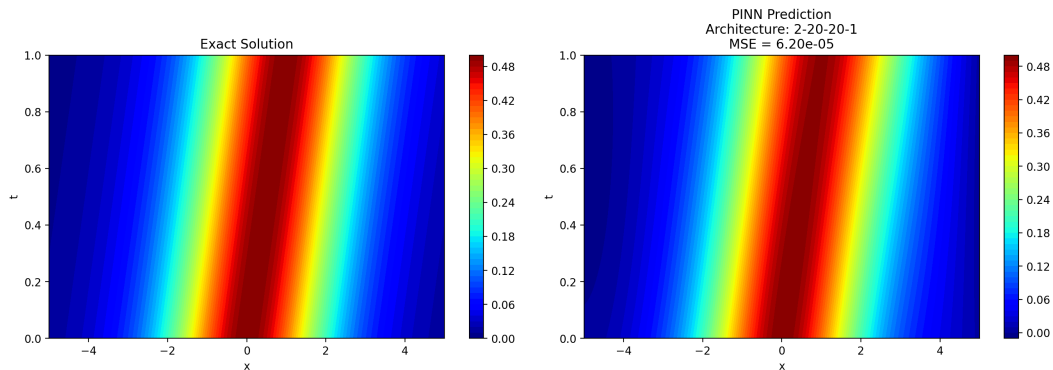


Рис. 1. Сравнение решений для архитектуры 2-20-20-1

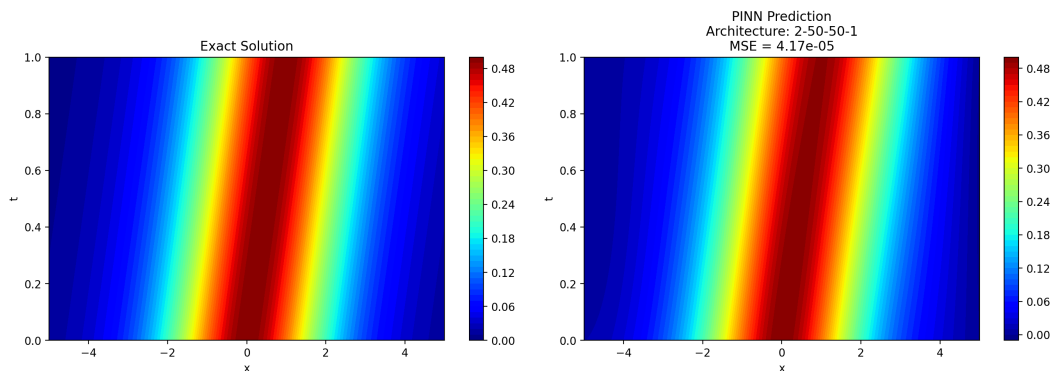
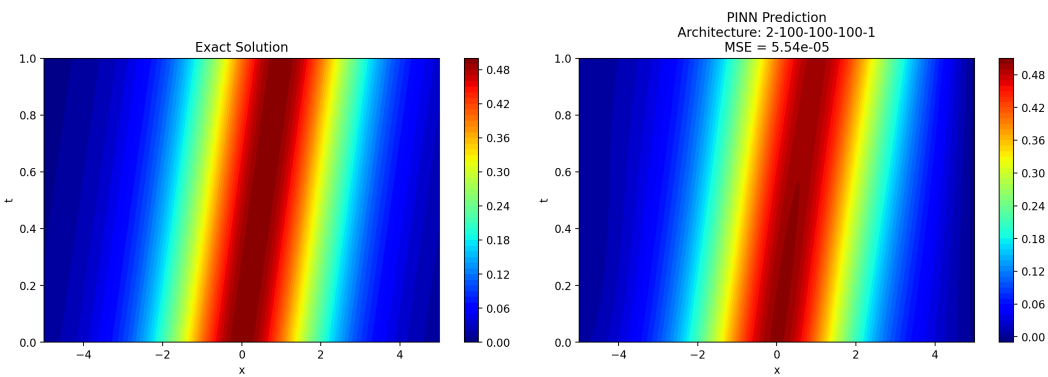
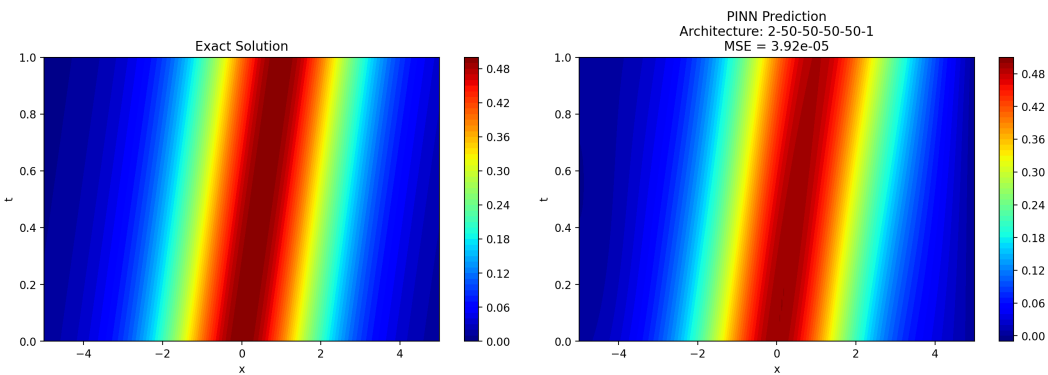


Рис. 2. Сравнение решений для архитектуры 2-50-50-1



Ruc. 3. Сравнение решений для архитектуры 2-100-100-100-1



Ruc. 4. Сравнение решений для архитектуры 2-50-50-50-50-1

Анализ зависимости точности и эффективности от архитектуры

На рисунке 5 представлены графики «Точность vs. Размер сети» и «Эффективность vs. Глубина сети».

Из графика «Точность vs. Размер сети» видно, что увеличение числа параметров не гарантирует повышения точности. Наиболее точной оказалась сеть среднего размера.

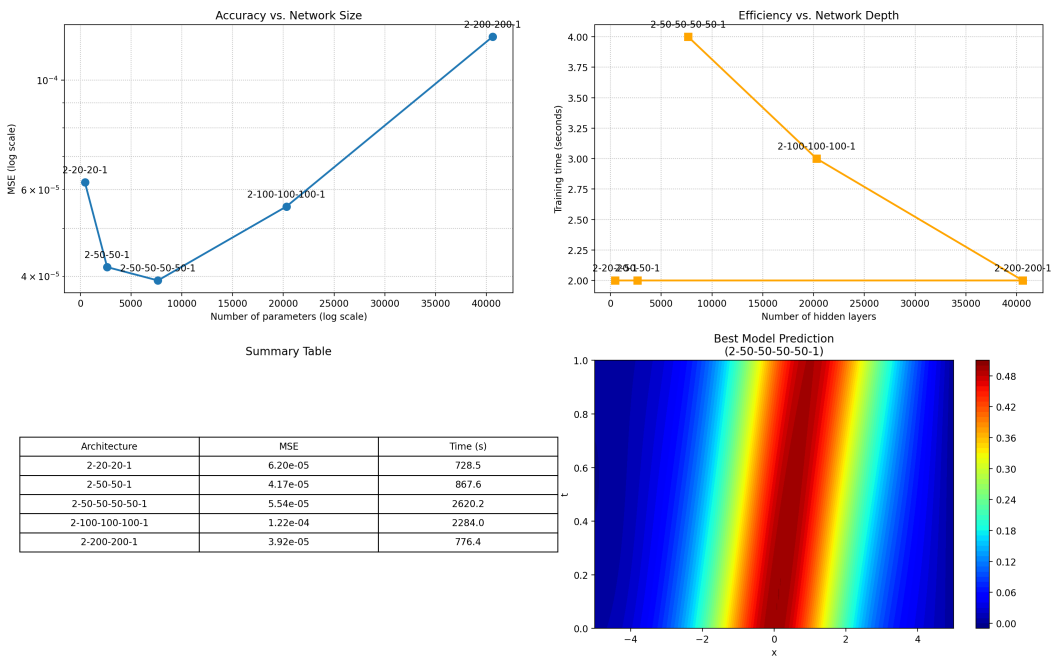


Рис. 5. Сводный анализ результатов

5. Заключение по результатам

Проведённый анализ позволяет сделать следующие выводы:

1. Оптимальная архитектура для данной задачи — 2-50-50-50-50-1.
2. Простое увеличение числа нейронов или слоёв не улучшает решение.
3. Метод PINN эффективно решает нелинейные УЧП при правильном выборе архитектуры.

Список литературы и интернет-ресурсов

- [1] Python Software Foundation. <https://www.python.org/> — Официальный сайт языка Python.
- [2] С.М. Львовский. *Набор и вёрстка в системе L^AT_EX*, 3-е изд., испр. и доп. — М.: МЦНМО, 2003. — Доступны исходные тексты этой книги.
- [3] Lagaris I.E., Likas A., Fotiadis D.I. Artificial neural networks for solving ordinary and partial differential equations // IEEE Transactions on Neural Networks. — 1998. — Vol. 9, № 5. — P. 987–1000.
- [4] Raissi M., Perdikaris P., Karniadakis G.E. Physics-informed neural networks: A deep learning framework for solving forward and inverse problems involving nonlinear partial differential equations // Journal of Computational Physics. — 2019. — Vol. 378. — P. 686–707.
- [5] PyTorch documentation. <https://pytorch.org/docs/stable/index.html> — 2024.
- [6] TensorFlow documentation. https://www.tensorflow.org/api_docs — 2024.
- [7] PyKAN: Python Library for Kolmogorov-Arnold Network. <https://kindxiaoming.github.io/pykan/> — GitHub, 2024.
- [8] Qwen AI Support. <https://chat.qwen.ai/> — Поддержка ИИ Qwen.